

Chaos

Das Lorenz-System

Roman Kossak

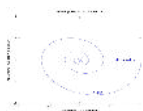
18.06.2014

Gliederung

- Motivation
- Eigenschaften
 - Volumenkontraktion
 - Linearität, Symmetrie, Fixpunktanalyse
- numerische Beispiele
- Exponentielle Divergenz
- Definition: Chaos

Motivation

- 1D - Fixpunkte asymptotisch stabil oder instabil



- 2D - Betrachtung der Phasenebene \Rightarrow Fixpunktanalyse



- 3D \Rightarrow Übergang zu Lorenz Gleichungen



Lorenz-Gleichungen

$$\dot{x} = \sigma(y - x)$$

$$\dot{y} = rx - y - xz$$

$$\dot{z} = xy - bz$$



E. Lorenz

mit σ = Prandtl Zahl, r = Rayleigh Zahl

Wobei $\sigma, r, b > 0$

Volumenkontraktion

Dissipatives System \Rightarrow Volumenkontraktion

für $t \rightarrow \infty$ folgt $V \rightarrow 0$

Beweis:

$$\dot{V} = \int_S \mathbf{f} \cdot \mathbf{n} dA = \int_V \nabla \cdot \mathbf{f} dV$$

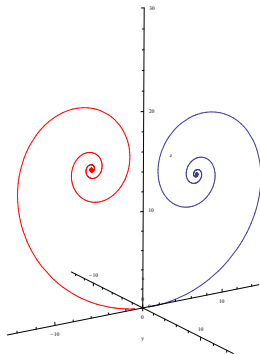
$$\nabla \cdot \mathbf{f} = \frac{\partial}{\partial x}[\sigma(y-x)] + \frac{\partial}{\partial y}[rx-y-xz] + \frac{\partial}{\partial z}[xy-bz] = -(\sigma+1+b)$$

$$\Rightarrow \dot{V} = -(\sigma+1+b)V$$

$$\Rightarrow V(t) = V(0)e^{-(\sigma+1+b)t}$$

einfache Eigenschaften

- Nichtlinearität bei xz und xy
- Symmetrie $(x, y) \rightarrow (-x, -y)$
Wenn (x, y, z) eine Lösung ist, dann auch $(-x, -y, z)$



- Fixpunkte aus Gleichgewichtszustand $\dot{x} = \dot{y} = \dot{z} = 0$
 - Ursprung $(0,0,0)$ für alle Parameter
 - $x = y = \pm\sqrt{b(r-1)}, z = r-1 \rightarrow$ Entstehung von symmetrischen Fixpunkten C^+ und C^-
- lineare/globale Stabilität des Ursprungs
- Stabilität von C^+ und C^-

lineare Stabilität am Ursprung

Betrachtung des linearisierten Systems:

$$\dot{x} = \sigma(y - x)$$

$$\dot{y} = rx - y$$

$$\dot{z} = -bz$$

$\Rightarrow z$ entkoppelt, $z(t \rightarrow \infty) \rightarrow 0$

In Matrixform ergibt sich:

$$\begin{pmatrix} \dot{x} \\ \dot{y} \end{pmatrix} = \begin{pmatrix} -\sigma & \sigma \\ r & -1 \end{pmatrix} \begin{pmatrix} x \\ y \end{pmatrix} \Rightarrow \text{spur}M = -\sigma - 1 \text{ und } \det M = \sigma(1 - r)$$

\Rightarrow **Ursprung ist stabiler Fixpunkt für $r < 1$**

globale Stabilität am Ursprung

Satz:

Für $r < 1$ läuft jede Trajektorie für $t \rightarrow \infty$ in den Ursprung
 \Rightarrow globale Stabilität

Ursache: Volumenkontraktion und somit weder Grenzyklen
noch chaotisches Verhalten

Stabilität von C^+ und C^-

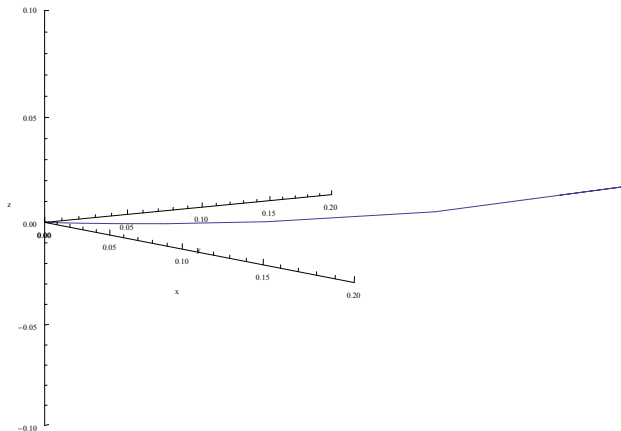
C^+, C^- Fixpunkte für $r > 1$: $x = y = \pm\sqrt{b(r-1)}, z = r-1$

- für $1 < r < r_H \Rightarrow$ lineare Stabilität
- für $r = r_H \Rightarrow$ subkritische Hopfbifurkation
- für $r > r_H \Rightarrow$ instabile Grenzzyklen um die Fixpunkte

$$r_H = \frac{\sigma(\sigma+b+3)}{\sigma-b-1}$$

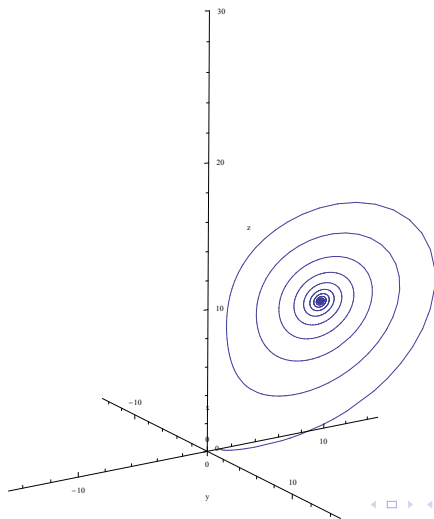
Beispiel $r = 0.5$

$\sigma = 10, b = \frac{8}{3}$, Ursprung stabil



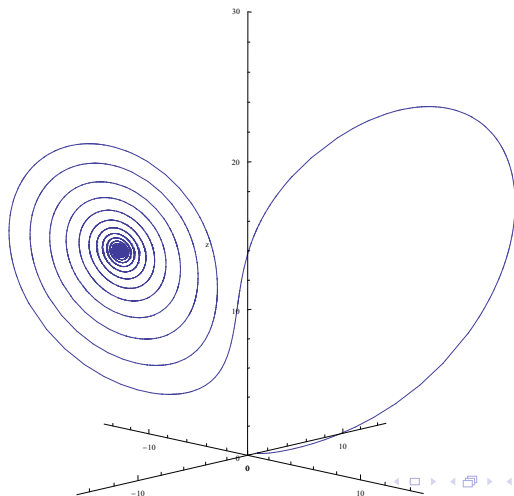
Beispiel $r = 12$

$\sigma = 10, b = \frac{8}{3}$, stabile Fixpunkte C^+, C^-



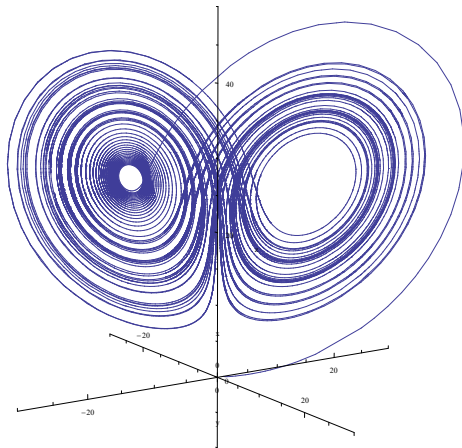
Beispiel $r = 15$

$\sigma = 10, b = \frac{8}{3}$, stabile Fixpunkte C^+, C^- , transientes Chaos



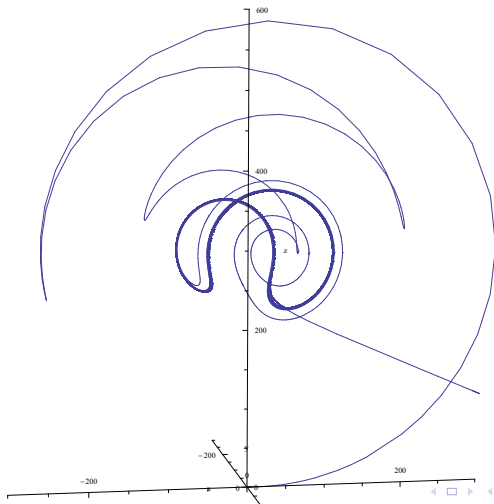
Beispiel $r = 28$

$\sigma = 10, b = \frac{8}{3}$, seltsamer Attraktor

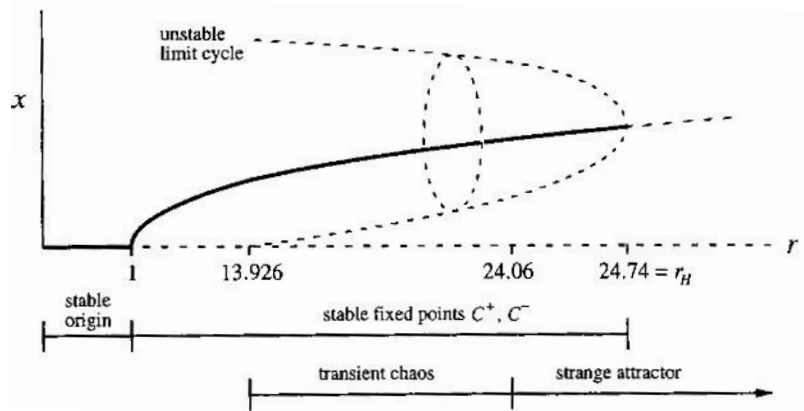


Beispiel $r = 300$

$\sigma = 10, b = \frac{8}{3}$, transientes Chaos, periodische Bewegung

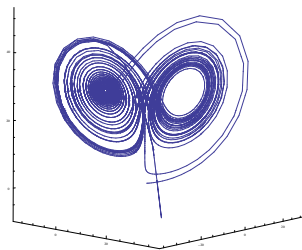


Verhalten bei Variation von r

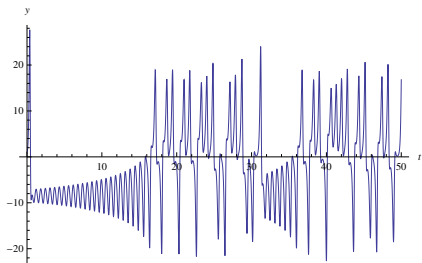


Seltsamer Attraktor

Parameterbetrachtung $\sigma = 10$, $r = 28$ und $b = \frac{8}{3}$

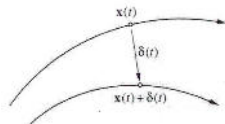


Lorenz-Butterfly



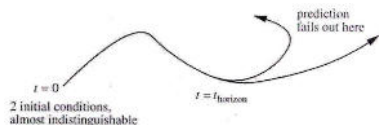
Exponentielle Divergenz von nahen Trajektorien

- sensible Abhängigkeit von Anfangsbedingungen



- exponentielle Bahnänderung numerisch ermittelt
 $\Rightarrow \|\delta(t)\| \sim \|\delta_0\| e^{\lambda t}$ mit λ : positiver Ljapunow Exponent

- Messungengenauigkeit a
 $\Rightarrow t_{horizon} = \frac{1}{\lambda} \ln \frac{a}{\|\delta_0\|}$



Beispiel zur expo. Divergenz

Beispiel: Messungengenauigkeit $a = 10^{-3}$ und Abschätzung des Messwertes auf $\|\delta_0\| = 10^{-7}$ genau

$$\Rightarrow t_{horizon} = \frac{1}{\lambda} \ln \frac{10^{-3}}{10^{-7}} = \frac{1}{\lambda} \ln(10^4) = \frac{4 \ln 10}{\lambda}$$

Verbesserung der Abschätzung um den Faktor 10^6 :

$$\Rightarrow t_{horizon} = \frac{1}{\lambda} \ln \frac{10^{-3}}{10^{-13}} = \frac{1}{\lambda} \ln(10^{10}) = \frac{10 \ln 10}{\lambda}$$

Beispiel zur expo. Divergenz

Beispiel: Messungengenauigkeit $a = 10^{-3}$ und Abschätzung des Messwertes auf $\|\delta_0\| = 10^{-7}$ genau

$$\Rightarrow t_{horizon} = \frac{1}{\lambda} \ln \frac{10^{-3}}{10^{-7}} = \frac{1}{\lambda} \ln(10^4) = \frac{4 \ln 10}{\lambda}$$

Verbesserung der Abschätzung um den Faktor 10^6 :

$$\Rightarrow t_{horizon} = \frac{1}{\lambda} \ln \frac{10^{-3}}{10^{-13}} = \frac{1}{\lambda} \ln(10^{10}) = \frac{10 \ln 10}{\lambda}$$

Verbesserung der vorausgesagten Länge nur um Faktor

2.5?!?!?

Definition: Chaos

Chaos ist ein aperiodisches Langzeitverhalten in einem deterministischen System, das sensible Abhängigkeit von Anfangsbedingungen aufweist.

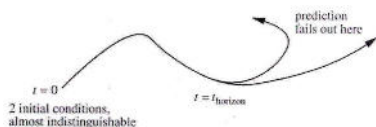
- aperiodisches Langzeitverhalten
- deterministisch
- sensible Abhängigkeit von Anfangsbedingungen

Fazit

- chaotisches Verhalten \Rightarrow aperiodisches Verhalten, sensibel von Anfangsbedingungen abhängig

exponentielle Divergenz von Trajektorien

- \Rightarrow Vorhersage von meteorologischen Systemen sind somit zeitlich begrenzt



Ende

Vielen Dank für eure
Aufmerksamkeit!

Quellen

- Nonlinear dynamics and chaos, Steven H. Strogatz 1994
- John H. *Die Erforschung des Chaos*, Vieweg 1995
- *CHAOS - Bausteine der Ordnung*, Springer-Verlag
- E. N. Lorenz - Deterministic nonperiodic flow - Journal of Atmospheric Sciences 1963

